

## تحلیل عددی مسائل تماسی همراه با اصطکاک در فروروی نانو بر

### مبنا بر یک رهیافت اصلاح شده بهینه‌سازی لاغرانژ الحاقی

حسین اشرفی<sup>۱</sup> و محمد شرعیات<sup>۲</sup>

دانشکده مهندسی مکانیک

دانشگاه صنعتی خواجه نصیرالدین طوسی

(تاریخ دریافت: ۱۳۸۹/۳/۳؛ تاریخ پذیرش: ۱۳۹۰/۱/۲۲)

#### چکیده

در این پژوهش به توسعه یک فرمول بندی المان محدود کلی بر اساس روش اصلاح یافته بهینه‌سازی لاغرانژ الحاقی برای تحلیل رفتار شبکه استاتیکی تماس اصطکاکی در فروروی نانو پرداخته شده و بر اساس شرایط سینماتیکی هندسی اجزاء در حال تماس، از رهیافت لاغرانژ الحاقی بهبود یافته استفاده شده است. این نوع فرآیند جدید حل بر دشواری‌های تعیین دو عامل پنالتی و تعداد گام‌های بار نمودی که در روش‌های مرسوم باید توسط کاربر تعیین شوند، غلبه نموده است. برای برطرف نمودن دشواری‌های عددی فرمول بندی‌های تساوی، از قانون اصطکاک غیرکلاسیک جدیدی استفاده شده که در آن شرایط چسبندگی و لغزشی قانون کلاسیک به یک قانون اصطکاکی الاستیک بهبود یافته تبدیل شده است. در پایان، این فرمول بندی به یک الگوی کامل برای حل مسائل کلی تماس اصطکاکی منتهی شده و برای بررسی درستی نتایج به بررسی فرآیند فرورونده یک فرورونده صلب در یک لایه الاستیک پرداخته شده است. الگوریتم استفاده شده در مثال کاربردی بیان شده برای شرایط اصطکاکی چسبندگی و لغزشی به خوبی همگرا گردید و همگرایی حل با گام گذاری بار خودکار و پیش‌گویی بار تماس مورد تحلیل قرار گرفت.

**واژه‌های کلیدی:** رهیافت لاغرانژی الحاقی، مکانیک عددی تماس، اصطکاک، فروروی نانو

## Numerical Analysis of Contact Problems with Friction on Nano-indentation by a Modified Augmented Lagrangian Optimization Approach

H. Ashrafi and M. Shariyat

Mech. Eng. Dep't.

K.N. Toosi Univ. of Tech.

(Received: 24 May, 2010; Accepted: 11 Apr., 2011)

#### ABSTRACT

In this paper a general finite element formulation, using a modified augmented Lagrangian (AL) optimization method, has been developed to analyze the quasi-static frictional contact behavior of nano-indentation procedure. Based on the geometrical kinematic conditions of contacting parts, a novel improved AL approach has been used. This novel solution procedure for contact formulation overcomes the difficulty of dependence of the solution process on two user-specified parameters, i.e. the penalty parameter for contact constraints and the number of load steps. For overcoming the numerical difficulties of variational equality formulations, a new non-classical friction law has been used, in which the stick and slip conditions of classical law have been changed to a modified elastic friction law. Finally, the indentation procedure of rigid nano-indenters into an elastic layer has been evaluated to verify the results. The numerical algorithm in an applied example is accurately converged for stick and slip friction conditions and solution convergence is analyzed using automatic load stepping and contact load predicting.

**Keywords:** Augmented Lagrangian Optimization Approach, Numerical Contact Mechanics, Friction, Nano-indentation

۱- دانشجوی دکترا: hashrafi.ir@gmail.com

۲- دانشیار (نویسنده پاسخگو): shariyat@kntu.ac.ir

نیروی طبیعی بر روی روابط تماسی مشخص است به واسطه نامساوی‌های تغییراتی می‌توان مسائل اصطکاکی را نیز تعریف نمود. مسائل تماس اصطکاکی به کمک فرمول‌بندی‌های نامساوی تغییراتی توسط آلت<sup>۳</sup> و کرنیر<sup>۴</sup> [۳] با استفاده از دیفرانسیل‌ها در قالب مسائل شبیه‌سازی قرار گرفتند.

در فرمول‌بندی نوع دوم، از تساوی‌های تغییراتی حاصل از اصل کار مجازی استفاده می‌شود که روایه تماسی در آن‌ها بین دو پیکره در شروع نمو بار به صورت مشخص فرض شده و با تکرار بازسازی می‌شود. سیمو<sup>۵</sup> و همکارانش [۴] مسائل تماسی بدون اصطکاک را با فرمول‌بندی تساوی تغییراتی حل نموده و قیود تماس تک سویه را با روش لاغرانژی متغیراتی ارضا نمودند. سیمو و لارسن<sup>۶</sup> [۵] با تساوی تغییراتی برای اولین بار از رهیافت لاغرانژ الحاقی برای تحلیل مسائل تماسی با قابلیت بهنگام‌سازی خودکار ضربه پنالتی و ارضاء قیود از راه مقادیر محدود پنالتی استفاده نمودند. مقدار اولیه عامل پنالتی به طور خودکار در داخل الگو برای تعیین مقدار نهایی آن بدون دخالت کاربر بهنگام‌سازی می‌شود. زاوایرس و همکارانش [۶] مسائل تماس اصطکاکی ترمومکانیکی را با راهی مشابه با رهیافت سیمو و لارسن طراحی و حل نمودند. آریچیو و ساکو<sup>۷</sup> [۷] دو فرآیند حل شبه لاغرانژ الحاقی را بر اساس ترکیب کار آلت و کرنیر و رهیافت سیمو و لارسن برای طراحی تماس بدون اصطکاک بین یک ورق و مانع صلب استفاده نمودند. با یک رهیافت لاغرانژ الحاقی تعمیم‌یافته، پیترزاك<sup>۸</sup> و کرنیر<sup>۹</sup> [۸] مسائل تماسی تک سویه را برای شرایط تغییرشکل‌های بزرگ حل نمودند. یک رهیافت لاغرانژ الحاقی مشابه با کار سیمو و لارسن برای کاربردهای عملی مهندسی و در عملیات شکل‌دهی فلزات توسط بابا<sup>۱۰</sup> و همکارانش [۹] به کار برده شد. میجار<sup>۱۱</sup> و آروا<sup>۱۲</sup> [۱۰] با بررسی روش‌های مختلف

## ۱- مقدمه

پدیده‌های تماس اصطکاکی و ضربه در اثر برهمکنش‌های تماسی و اصطکاکی بین اجزاء مکانیکی رخ می‌دهند که اکثر پاره‌ای مکانیکی نیز از چنین برهمکنش‌هایی ناشی می‌شوند. چگونگی توزیع فشارهای تماسی و ضربه در سراسر ناحیه برهمکنشی نقش کلیدی بر تربیولوژیکی و بالستیکی پیکره‌های مکانیکی دارند. به طور کلی پدیده‌های تماس و ضربه در پیکره‌های تغییرشکل‌پذیر پدیده‌های غیرخطی هستند. معرفی پدیده اصطکاک به عنوان یک عامل برگشت ناپذیر در میانجی سامانه‌های برهمکنشی، مسئله تماس را پیچیده‌تر نیز نموده است. بنابراین اغلب سامانه‌های فیزیکی برای انجام یک تحلیل موفق نیاز به توصیف کامل برهمکنش‌های مکانیکی در نواحی تماس دارند. در چنین پدیده‌های تماسی، بسته به نوع کاربرد سامانه فیزیکی، ممکن است رفتار اصطکاکی، برهمکنش گذرای نواحی مشترک، اتصال ترمومکانیکی، برهمکنش با روان‌سازها و آسیب‌های سایشی نواحی مشترک نیز مورد تحلیل قرار گیرند.

امروزه با گسترش سریع فناوری رایانه‌های پیشرفته، می‌توان روش‌های تماس و ضربه را با به کارگیری ابزاری به نام مکانیک محاسباتی به کمک شیوه‌های عددی شبیه‌سازی نمود.

به طور کلی دو نوع فرمول‌بندی اصلی برای حل محاسباتی مسائل تماس و ضربه در منابع مورد بررسی قرار گرفته‌اند که عبارتند از: فرمول‌بندی‌های نامساوی تغییراتی و تساوی تغییراتی که از اصل کار مجازی منتج شده‌اند [۱-۲]. فرمول‌بندی‌های نوع اول از نامساوی‌های تغییراتی که در واقع بیانگر اصل کار مجازی به شکل نامساوی هستند، استفاده می‌نمایند. همه شرایط مرزی شامل شرایط تماسی و اصطکاکی فقط در قالب رابطه‌ای نامساوی تغییراتی بیان می‌شود. ادن<sup>۱</sup> و کیکوچی<sup>۲</sup> [۲] مسائل تماسی بدون اصطکاک را با استفاده از نامساوی‌های تغییراتی فرمول‌بندی نموده و درباره وجود و یکتایی حل خود نیز با ارائه مثال‌های عددی بحث نمودند. هنگامی که فرض شود نحوه توزیع

- 3- Alart
- 4- Curnier
- 5- Simo
- 6- Laursen
- 7- Pietrzak
- 8- Curnier
- 9- Baba
- 10- Mijar and Arora

- 1- Oden
- 2- Kikuchi

حل جدید در فرمولبندی تماسی بر سختی‌های تعیین دو پارامتر پنالتی و تعداد گام‌های بار نموی که در روش‌های لاغرانژ الحقیقی مرسوم باید توسط کاربر تعیین می‌شدن، غلبه نموده است. عوامل پنالتی و تعداد گام‌های بار وابسته در فرآیندهای حل، مرسوم به نوع کاربرد مسئله تماسی است و باید در استفاده از آن‌ها برای رسیدن به همگرایی در جواب از عملیات نامطلوب سعی و خطای استفاده نمود. هدف در مرحله اول فرمولبندی، یافتن نقطه تماس اولیه در گره تماس و سپس نیروی تماسی در آن است. در مرحله دوم، هدف چک نمودن شرایط تماسی و حل مسئله اصطکاکی است. در مرحله دوم فرمولبندی، به دلیل وجود نیروهای تماسی وابسته به مسیر، مانند مرحله اول دارای یک کنشمند انرژی پتانسیل متناسب با آن نیست. بنابراین طرح نمو بار در فرمولبندی بکار می‌رود که مسائل خطی را نیز به خوبی مسائل غیرخطی تحت پوشش قرار می‌دهد. در فرآیند حل این فرمولبندی از الگوهای نگاشت بازگشتی مرسوم برای محاسبه نیروی تماسی (یا همان فشار تماسی) استفاده نمی‌شود و در نتیجه حل را می‌توان مستقل از تعداد گام‌های بار و مقادیر پنالتی دانست. برای ارزیابی نتایج به بررسی فرآیند فروروی نانو یک فرورونده صلب در یک فیلم نازک پلیمری به عنوان کاربردی در حل مسائل تماسی پرداخته شده است.

## ۲- معادلات متشکله الاستواستاتیک

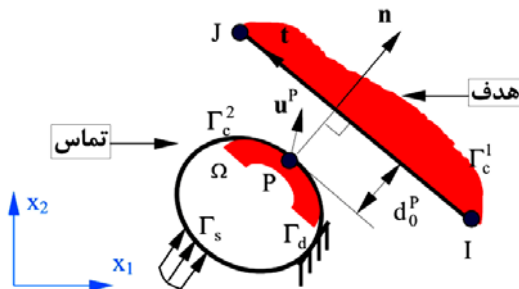
قوانين تعادل جهانی و معادلات میدانی حاصل برای تمام محیط‌های پیوسته کاربرد داشته و معادلات به دست آمده، خواص مکانیکی و گرمایی مواد مخصوص را بر اساس ساختار ذاتی درونی آن‌ها مشخص می‌نماید. از نظر ریاضی، کاربرد این معادلات در توصیف روابط میان معادلات میدانی گرمایی، مکانیکی، سینماتیکی و تشکیل فرمولبندی‌های مسائل قابل طرح در مکانیک محیط‌های پیوسته است. از نظر فیزیک، کاربرد این معادلات در تعریف مواد گوناگون و ایده‌آل شده است که با به کارگیری طرح‌های متفاوت برای بیان رفتار مواد واقعی استفاده می‌شوند. به‌طور کلی این معادلات برای یک ماده ویژه بیان‌گر رفتار ویژه‌ای هستند.

در تحلیل مسائل تماسی، یک فرآیند حل جدید برای بهنگام‌سازی خودکار مقدایر پنالتی ارائه نموده و با مثال عددی ساده‌ای نیز فرمولبندی تساوی تغییراتی خود را ارزیابی و تأیید نمودند. اسی<sup>۱</sup> و همکارانش [۱۱] نیز یک طرح المان محدود صحیح را برای تحلیل پاسخ یک سازه ویسکوالاستیک تحت تماس ضربه‌ای با استفاده از یک روش نمایی ضربی لاغرانژی ارائه نمودند. اشرافی و همکارانش [۱۲-۱۳] با استفاده از روش وارونسازی ماتریسی، فرآیند حل محاسباتی جدیدی را برای فرمولبندی و تحلیل مسئله تماس نانو فروروی بین یک فرورونده صلب با یک نیم فضای ویسکوالاستیک و ارتوتروپوییک با هر هندسه دلخواه در شرایط بدون اصطکاک ارائه نمودند.

کنشمند لاغرانژ الحقیقی را می‌توان مانند لاغرانژین معمولی که به یک جمله پنالتی الحقاق می‌شود در نظر گرفت. در بیشتر فرآیندهای حل با تساوی تغییراتی تماسی بر اساس روش لاغرانژ الحقیقی، کنشمند الحقاق درست مانند تابع اصلی پنالتی در روش پنالتی عمل می‌نماید؛ که در آن مقدار ابتدایی عامل پنالتی که توسط کاربر تعریف می‌شود. در طی فرآیند حل تغییر داده نشده و برای اختصاص مقادیر مناسبی برای عامل پنالتی باید از فرآیند سعی و خطای استفاده نمود. رهیافت‌های ذکر شده که بهبود یافته روش پنالتی هستند دارای معایبی مشابه با آن نیز هستند. رهیافت تجمع روش‌های پنالتی و ضربی لاغرانژ، همچنین در برنامه‌های استاندارد اجزاء محدود تجاری مورد استفاده قرار گرفته است. طرح‌های پیشگویی بار-زمان تماسی نیز برای بهبود دقیق و بازدهی حل مسائل تماسی به کار برده می‌شوند ولی باز هم این طرح‌ها با وجود بهبود فرآیند حل دارای مشکلات اساسی می‌باشند.

در این پژوهش به توسعه یک فرمولبندی المان محدود کلی بر اساس یک رهیافت اصلاح‌یافته بهنگام‌سازی لاغرانژ الحقیقی برای تحلیل رفتار شبیه استاتیکی تماس اصطکاکی در فروروی نانو پرداخته می‌شود. با تعریف مسائل تماسی اصطکاکی، مفاهیم اساسی روش لاغرانژ الحقیقی مورد بحث قرار گرفته و یک الگوی جامع با بیان جزئیات برای بکارگیری در حل مسائل عددی مهندسی ارائه می‌شود. این نوع فرآیند

به پیکره تماس اعمال می‌شوند در حالی که پیکره صلب در فضای ثابت است. پیکره تماسی تحت اعمال نیروهای حجمی  $b_i$ ، تراکنش سطحی  $T_i$  بر روی مرز  $\Gamma_s$  و جابه‌جایی مشخص  $\bar{u}_i$  بر روی مرز  $\Gamma_d$  است.



شکل (۱): پیکربندی تماس یک سامانه مکانیکی.

پیکره تماسی به NOE المان محدود که دارای NON گرده است، گسسته‌سازی می‌شود. اثرات تماس و اصطکاک در گره‌های گستته روی رویه تماسی وارد محاسبات می‌شوند. رویه تماسی انتخابی روی لبه پیکره هدف (رویه اصلی) و رویه تماسی انتخابی بر روی مرز پیکره تماس (رویه فرعی) به ترتیب با نمادهای  $\Gamma_c^1$  و  $\Gamma_c^2$  مشخص می‌شوند. رویه تماسی  $\Gamma_c^2$  دارای NOC گرده پتانسیلی است ( $NOC \leq NON$ ).

در پیکربندی مرجع، گرده  $P$  بر روی مرز پیکره تماسی با بردار مختصات  $X^P$  و نقاط  $I$  و  $J$  بر روی لبه پیکره هدف با بردارهای مختصات  $X^I$  و  $X^J$  مورد توجه قرار می‌گیرند. سامانه مختصات موضعی بر روی لبه پیکره هدف به وسیله بردارهای واحد ( $n$ ) و ( $t$ ) نشان داده می‌شود. فاصله نرمال ابتدایی برای گرده تماسی  $P$  به وسیله رابطه (۳) تعریف می‌شود:

$$d_0^P = (X^J - X^P) \cdot n. \quad (3)$$

فاصله نرمال فعلی، همان گرده تماسی پس از حرکت با رابطه (۴) تعریف می‌شود:

$$d_n^P = (d_0^P - u^P \cdot n) = (d_0^P - u_n^P), \quad (4)$$

که در آن، ( $u_n^P$ ) بیانگر جابه‌جایی نرمال گرده ( $P$ ) است. در نتیجه تماس گرده ( $P$ ) بر روی مرز پیکره تماسی با لبه پیکره هدف، نیروی تماسی ( $f_c^P$ ) بر روی پیکره هدف وارد می‌شود.

معادلات الاستواستاتیک تنش - کرنش جامدات الاستیک خطی با فرض کرنش‌های کوچک عبارت است از [۱۴]:

$$\sigma_{ij} = C_{ijkl} \epsilon_{kl}, \quad (1)$$

که در آن،  $\sigma$  و  $\epsilon$  به ترتیب بیانگر تانسورهای تنش و کرنش  $C_{ijkl}$  بیانگر ثابت‌های الاستیک است که خصوصیات درونی یک ماده الاستیک را نشان می‌دهد. برای رفتار ایزوتروپیک، این معادله را به صورت خاص زیر می‌توان بازنویسی نمود:

$$\sigma_{ij} = \lambda \delta_{ij} \epsilon_{kk} + 2\mu \epsilon_{ij}, \quad (2)$$

که در آن،  $\lambda$  و  $\mu$  ضرایب لامه برای یک ماده الاستیک هستند.

### ۳- پیکربندی و سینماتیک تماس

در مکانیک جامدات، مسائل تماسی اصطکاکی اغلب به سه گروه استاتیکی، شبه استاتیکی و دینامیکی طبقه‌بندی می‌شوند. در مسائل ضربه و یا برخورد، اثرات اینرسی باید در نظر گرفته شده و در دامنه زمان نیز باید گسسته‌سازی مناسبی اعمال شود. در برخی مسائل، دو یا چند پیکره در بارگذاری و شرایط مرزی مشخص با یکدیگر در شرایط تماسی قرار می‌گیرند و فاصله ابتدایی بین آن‌ها بسته می‌شود که می‌توانند بر روی هم بدون هیچ نیروی مقاوم اصطکاکی حرکت لغزشی داشته باشند که در منابع به آن مسائل تماسی هموار<sup>۱</sup> گفته می‌شود. در تحلیل مسائل تماسی، بیشتر از نظریه‌های بهینه‌سازی استفاده می‌شود. نظریه کلاسیک بهینه‌سازی، بر مبنای شرایط بهینگی است که با فرض توابع پیوسته و نیز توابع دیفرانسیل پذیری با حداقل دو مرتبه پیوستگی استنتاج می‌شوند [۱۵-۱۶].

برای تعریف مشخصات مسائل تماسی، یک سامانه مکانیکی دو بعدی که در برگیرنده یک پیکره تغییرشکل پذیر (به عنوان پیکره تماسی) و یک پیکره صلب (به عنوان پیکره هدف) است، در نظر گرفته شده است. پیکربندی تماسی سامانه با مختصات مادی  $X = [x_1, x_2]$  در شکل ۱ نشان داده شده است. پیکره تغییرشکل پذیر یا پیکره تماسی به وسیله دامنه  $\Omega$  و مرز  $\Gamma$  مشخص می‌شود. شرایط مرزی و باری

جابه‌جایی مماسی کل برای یک گره مشخص موردنظر است. در مسائل دینامیکی، علامت نیروی اصطکاکی به جهت حرکت گره وابسته است. این نوع وابستگی به حرکت، یا در مسائل غیرخطی، وابستگی به جابه‌جایی نمود، نیروی اصطکاکی در این فرمول‌بندی موردنظر قرار نگرفته است. بنابراین معکوس‌سازی علامت نیروی اصطکاک در فرآیند نمود بار، مجاز نیست و این فرض در الگوی عددی نیز مورد استفاده قرار گرفته است. طبق قانون اصطکاک کلاسیک، شرایط چسبندگی و لغزشی عبارتند از:

$$|f_f^P| - \mu R_n^P < 0 \Rightarrow |u_t^P| = 0 \quad (\text{Stick}), \quad (8)$$

$$|f_f^P| - \mu R_n^P = 0 \Rightarrow |u_t^P| > 0 \quad (\text{Slip}), \quad (9)$$

که در آن،  $\mu$  ضریب اصطکاک و  $u_t^P$  جابه‌جایی مماسی در راستای  $t$  است. نیروی اصطکاکی در راستای خلاف حرکت نسبی  $u_t^P$  گره  $P$  پیکره تماسی عمل می‌نماید.

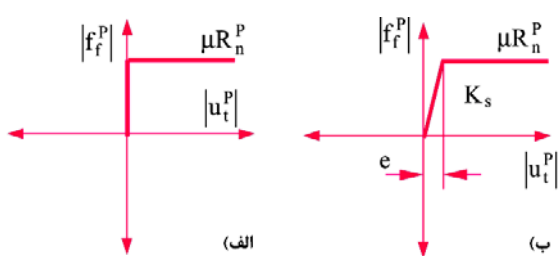
در قانون اصطکاک غیرکلاسیک برای غلبه بر دشواری‌های محاسباتی فرمول‌بندی‌های تساوی تغییراتی، قانون کلاسیک به یک قانون اصطکاکی الاستیک بهبودیافته است. شرایط چسبندگی و لغزشی این قانون بهبودیافته به صورت زیر بیان می‌شوند:

$$|f_f^P| = K_s |u_t^P| \Rightarrow |u_t^P| \leq e \quad (\text{Stick}), \quad (10)$$

$$|f_f^P| = \mu R_n^P \Rightarrow |u_t^P| > e \quad (\text{Slip}), \quad (11)$$

که در آن،  $K_s$  سختگی چسبندگی نامیده می‌شود.

شیب بخش ابتدایی منحنی نشان داده شده در شکل ۲-ب متناسب با مقدار چسبندگی  $e$  است. در این فرمول‌بندی نیز از قانون اصطکاک غیرکلاسیک استفاده شده که در آن شرایط چسبندگی و لغزشی قانون کلاسیک به یک قانون اصطکاکی الاستیک بهبودیافته‌اند.



شکل (۲): قوانین اصطکاک تماس.

این نیرو را می‌توان به دو مؤلفه نرمال ( $R_n^P$ ) و مماسی ( $f_f^P$ ) در اثر اصطکاک تجزیه نمود. اندازه نیروی مماس اصطکاکی ( $f_f^P$ ) در نقطه تماس به مقدار نیروی تماس نرمال ( $R_n^P$ ) وابسته است.

#### ۴- قانون تماس بهبودیافته

برای جلوگیری از نفوذ پیکره‌ها در یکدیگر از قید نفوذناپذیری تماس تک سویه استفاده می‌شود که در شرط نفوذناپذیری، فاصله تماس نرمال فعلی باید بزرگتر یا برابر با صفر باشد. این قید تماس تک سویه به صورت استاندارد  $(g_n^P \leq 0)$  نوشته می‌شود. قانون تماس تک سویه در تماس بین دو پیکره شامل شرایط نفوذناپذیری، فشاری و مکمل است که به ترتیب عبارتند از:

$$g_n^P \leq 0 \quad g_n^P := -d_n^P = u_n^P - d_0^P, \quad (5)$$

$$R_n^P \geq 0, \quad (6)$$

$$(R_n^P)(g_n^P) = 0 \quad (P \in \Gamma_c^2), \quad (7)$$

که در آن،  $R_n^P$  اندازه نیروی تماسی نرمال است. شرط اصلی تماس تک سویه، نفوذ نکردن پیکره‌های تماسی و هدف در یکدیگر است. شرط فشاری تماس تک سویه بیانگر نبود کشش در پیکره‌های تماسی و هدف به وسیله یکدیگر است. شرط مکمل نیز نشان می‌دهد که پیکره تماسی یا از پیکره هدف جدا می‌شود ( $R_n^P = 0, g_n^P < 0$ ) و یا بر روی آن فشرده می‌شود ( $R_n^P \geq 0, g_n^P = 0$ ).

به طور کلی، دو نوع قانون اصطکاکی در مسائل مختلف مهندسی استفاده می‌شود؛ قانون اصطکاک کلاسیک کولمب یا صلب و قانون غیرکلاسیک یا بهبودیافته. قانون اصطکاک کلاسیک (شکل ۲) کولمب کاربردهای گسترده‌ای دارد [۱] و [۱۶]. نقص اصلی قانون کلاسیک در ناتوانی دربرگیری وابستگی ضریب اصطکاک به سرعت لغزشی نسبی است. با این وجود در بسیاری از کاربردهای مهندسی، سرعت لغزشی نسبی به حدی کم است که وابستگی سرعت نسبی به ضریب اصطکاک قابل چشم پوشی است. در قانون کلاسیک، نیروی اصطکاکی در گره تماسی  $P$ ، یا با دیواره هدف چسبندگی خواهد داشت و یا در امتداد دیواره هدف لغزش خواهد داشت. قوانین اصطکاک برای مسائل ایستایی بیان شده‌اند و

$$I_1 := \{P : (g_n^P + \theta^P) \geq 0, \quad P \in \Gamma_c^2\}, \quad (16)$$

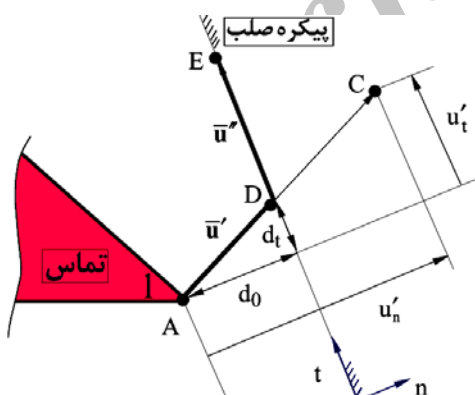
$$I_2 := \{P : (g_n^P + \theta^P) < 0, \quad P \in \Gamma_c^2\}, \quad (17)$$

که رویه تماس  $\Gamma_c^2$  شامل NOC گره فعال تماسی است. حال کشمند لاغرانژ الحقی به صورت زیر بازنویسی شده است:

$$\Phi(\bar{\mathbf{U}}, \boldsymbol{\theta}, \mathbf{K}_n) = \Pi + \sum_{P \in I_1} [K_n^P \theta^P g_n^P + \frac{1}{2} K_n^P (g_n^P)^2] - \frac{1}{2} \sum_{P \in I_2} K_n^P (\theta^P)^2. \quad (18)$$

هدف روش لاغرانژ الحقی بدون اصطکاک، تبدیل مسئله مقید به یک رشتہ مسائل بدون قید و کمینه‌ساز کشمند لاغرانژ الحقی می‌باشد. مقادیر پارامترهای  $\boldsymbol{\theta}$  و  $\mathbf{K}_n$  در ابتدای هر کمینه‌سازی غیرمقید انتخاب شده، آن‌گاه تابع  $\Phi(\bar{\mathbf{U}}, \boldsymbol{\theta}, \mathbf{K}_n)$  نسبت به متغیر  $\bar{\mathbf{U}}$  کمینه می‌شود. در انتهای این کمینه‌سازی، پارامترهای  $\boldsymbol{\theta}$  و  $\mathbf{K}_n$  در صورت نیاز به هنگام سازی شده و فرآیند به همین صورت تکرار می‌شود تا همگرایی ایجاد شود.

**۷- رهیافت بهبودیافته بهینه‌سازی لاغرانژ الحقی**  
تماس بین پیکره یک سازه تغییرشکل پذیر (جسم نمونه) با یک پیکره صلب (فرورونده) در گره تماسی ( $P=1$ ) مورد نظر قرار گرفته است که در شکل ۳ هم قابل مشاهده است.



شکل (۳): فرمول‌بندی لاغرانژ الحقی.

## ۵- مسائل تماسی اصطکاکی

با گسسته‌سازی المان محدود، مسائل برابری تغییراتی تماس اصطکاکی به معادله تعادل زیر دست یافته‌ایم:

$$\bar{\mathbf{K}}\bar{\mathbf{U}} - \bar{\mathbf{F}} + \bar{\mathbf{F}}_c = \mathbf{0}, \quad (12)$$

که در این رابطه  $\bar{\mathbf{F}}_c$  بردار نیروی تماس کلی  $[2\text{NON} \times 1]$  به صورت زیر است:

$$\bar{\mathbf{F}}_c = [\bar{f}_c^1 \bar{f}_c^2 \dots \bar{f}_c^{\text{NON}}]^T, \quad (13)$$

$$\bar{f}_c^P = [R_n^P \quad f_f^P]^T \quad \text{for } P=1,2,\dots,\text{NON}, \quad (14)$$

که در آن،  $\bar{f}_c^P$  بیانگر نیروی تماس گره تماسی  $P$  ام و  $\bar{f}_f^P$  نیز نیروی اصطکاکی می‌باشد.

در رابطه (۱۲) جایه‌جایی  $\bar{\mathbf{U}}$  و نیروی تماسی  $\bar{\mathbf{F}}_c$  هر دو مجھول هستند. قید تماس تک سویه و شرایط اصطکاک کولمب باید همراه سایر شرایط مرزی در طی فرآیند حل به سامانه اعمال شوند. از سوی دیگر، نقطه تماس اولیه گره  $P$  و حرکت پس‌آیند این گره در سطح هدف، توابعی از نیروی اعمالی  $\bar{\mathbf{F}}$  هستند. بنابراین نیروهای تماس  $R_n^P$  و  $f_f^P$  در طی فرآیند بارگذاری تغییر می‌یابند. در نتیجه، این رابطه یک معادله غیرخطی است که نیاز به یک فرآیند حل نموی و تکرارشونده دارد.

## ۶- رهیافت بهینه‌سازی لاغرانژ الحقی

روش لاغرانژ الحقی یکی از روش‌های ضربی مشتق شده از منابع بهینه‌سازی است [۱۷]. کشمند لاغرانژ الحقی ( $\Phi$ ) برای مسائل تماسی بدون اصطکاک با قیود نابرابری به صورت زیر تعریف شده است:

$$\Phi(\bar{\mathbf{U}}, \boldsymbol{\theta}, \mathbf{K}_n) = \Pi + \frac{1}{2} \sum_{P=1}^{\text{NOC}} K_n^P [(g_n^P + \theta^P)_+ - (\theta^P)^2], \quad (15)$$

که در آن،  $\boldsymbol{\theta}$  بردار دربرگیرنده عامل‌های  $\theta^P$  قید تماسی ( $P$ ) ام و  $\mathbf{K}_n$  بردار عوامل پنالتی مثبت ( $K_n^P > 0$ ) می‌باشد. همچنین،  $[x]_+$  بیانگر  $\max(0,x)$  و  $R_n^P = K_n^P \theta^P$  می‌باشد. باید توجه داشت که قیود نابرابری  $\theta^P$  بزرگتر یا برابر صفر هستند. قیود مؤثر ( $I_1$ ) و غیرمؤثر ( $I_2$ ) در این رهیافت را به صورت زیر تعریف می‌شوند:

محاسباتی را می‌توان برای حل مسئله تعریف شده در رابطه (۱۹) بکار برد. با این وجود به دلیل محدودیت این روش‌ها، روش لاغرانژ الحقیقی راهی بسیار مناسب برای حل این نوع مسائل است. حال به تعریف کنشمند لاغرانژ الحقیقی در مسئله این مرحله می‌پردازیم:

$$\Phi(\bar{\mathbf{u}}', \theta_n, K_n, \theta_t, K_t) = \Pi(\bar{\mathbf{u}}') + \begin{cases} \frac{1}{2} K_n \theta_n^2 & (g'_n + \theta_n < 0), \\ K_n \theta_n g'_n + \frac{1}{2} K_n g'^2_n + K_t \theta_t g'_t + \frac{1}{2} K_t g'^2_t, & (g'_n + \theta_n \geq 0), \end{cases} \quad (20)$$

که در این روابط، ( $K_n > 0, K_t > 0, \theta_n, \theta_t$ ) عوامل لاغرانژ الحقیقی همبسته با قیود نرمال و مماسی (۱۹) هستند. عامل‌های ( $K_n$ ) و ( $K_t$ ) نیز عوامل پنالتی برای قیود مربوطه هستند. ایده روش لاغرانژ الحقیقی، تبدیل یک مسئله مقید به یک رشته مسائل غیر مقید که کمینه‌ساز کنشمند لاغرانژ الحقیقی نسبت به ( $\bar{\mathbf{u}}$ ) برای تخمین این پارامترها هستند می‌باشد. فرمول‌بندی‌های تماسی روش‌های لاغرانژ الحقیقی متداول، عواملی مانند ( $\theta_t$ ) و ( $\theta_n$ ) را مورد استفاده قرار نمی‌هند. در این رهیافت از چنین پارامترهایی برای بدست آوردن حل دقیق مسئله مقید اصلی با استفاده از مقادیر محدود پارامترهای ( $K_n$ ) و ( $K_t$ ) است.

در صورت نفوذ و فرروری یعنی برای حالت ( $g'_n + \theta_n \geq 0$ ), شرایط بهینگی مرتبه اول نسبت به ( $\bar{\mathbf{u}}$ ) منجر به معادله تعادلی نموی زیر شده است:

$$\begin{aligned} (\bar{\mathbf{k}}^{(i-1)} + \bar{\mathbf{k}}_c^{(i-1)}) \Delta \bar{\mathbf{u}}^{(i)} - \bar{\mathbf{f}} + \bar{\mathbf{r}}^{(i-1)} + \bar{\mathbf{f}}_c^{(i-1)} &= 0, \\ \Rightarrow (\bar{\mathbf{k}}^{(i-1)} + \bar{\mathbf{k}}_c^{(i-1)}) \Delta \bar{\mathbf{u}}^{(i)} &= \bar{\mathbf{f}}_{ub}^{(i-1)}, \end{aligned} \quad (21)$$

به طوری که:

$$\bar{\mathbf{f}}_{ub}^{(i-1)} = \bar{\mathbf{f}} - \bar{\mathbf{r}}^{(i-1)} - \bar{\mathbf{f}}_c^{(i-1)}. \quad (22)$$

( $\bar{\mathbf{k}}^{(i-1)} = \nabla \bar{\mathbf{r}}^{(i-1)}$ ) ماتریس سختی سازه، بسته به شرایط مادی و هندسی است و ( $\bar{\mathbf{k}}_c^{(i-1)} = \nabla \bar{\mathbf{f}}_c^{(i-1)}$ ) ماتریس سختی تماس است. ( $\Delta \bar{\mathbf{u}}^{(i)}$ ) نیز بیانگر بردار جابه‌جایی نموی و ( $\bar{\mathbf{r}}^{(i-1)} = \bar{\mathbf{k}}^{(i-1)} \bar{\mathbf{u}}^{(i-1)}$ ) بردار نیروی گرهی بسته به تنش‌های المان است. همچنین، ( $\bar{\mathbf{f}}_{ub}^{(i-1)}$ ) بردار نیروی

هدف مرحله اول فرمول‌بندی، یافتن نقطه تماس اولیه در گره  $P$  و سپس نیروی تماسی در آن است و هدف مرحله دوم، چک نمودن شرایط تماسی و حل مسئله اصطکاکی می‌باشد. در مرحله دوم فرمول‌بندی به دلیل وجود نیروهای تماسی وابسته به مسیر دارای یک کنشمند انرژی پتانسیل متناسب با آن همانند مرحله اول نمی‌باشد. از این رو نمو بار در فرمول‌بندی بکار رفته است که مسائل خطی را هم به خوبی مسائل غیرخطی هندسی یا مادی تحت پوشش قرار می‌دهد.

**مرحله اول فرمول‌بندی:** در اینجا تشخیص صحیح نقطه تماس اولیه و پس از آن، تعیین نیروی قید موردنیاز برای باقی نگاه داشتن گره تماسی در آن نقطه، موردنظر است.

مسئله زیر برای این مرحله فرمول‌بندی تعریف شده است:

$$\begin{aligned} \min & \quad \Pi(\bar{\mathbf{u}}'), \\ \text{s.t.} & \quad g'_n = u'_n - d_0 \leq 0, \\ & \quad g'_t := \xi(g'_n)(u'_t - d_t) = 0; \\ \xi(g'_n) &= \begin{cases} 0 & g'_n < 0 \\ 1 & g'_n \geq 0 \end{cases} \end{aligned} \quad (19)$$

که در این روابط، ( $\Pi$ ) انرژی پتانسیل کل سازه، ( $u'_n$ ) و ( $u'_t$ ) جابه‌جایی‌های مماسی و نرمال گره تماسی در مرحله اول، ( $g'_t$ ) فاصله نفوذ مماسی گره تماس درون هدف، ( $d_t$ ) جابه‌جایی مماسی گره تماس در حالت تماس اولیه با هدف نسبت به موقعیت ابتدایی آن و ( $\xi(g'_n)$ ) تابع واحد پله‌ای هستند. باید توجه نمود که قید فاصله مماسی ( $g'_t$ ) از نوع برابری است و فقط هنگامی که گره تماس در هدف نفوذ بین معنا است که هنگامی که گره تماس در هدف نفوذ می‌کند، فعال می‌شود. ایده اصلی این قید جدید در به دست آوردن نقطه تماس اولیه به طور دقیق و اعمال نیرو به گره تماس برای چسباندن گره تماس در آنجا، بارگذاری در این مرحله است.

ضرایب لاغرانژ برای قیود، منجر به دست آوردن نیروهای مماسی و عمودی به طور دقیق می‌شوند و بنابراین شرایط لغزش - چسبندگی در اینجا کنترل می‌شوند. از این شرط در مرحله دوم برای اجزاء لغزش گره تماس بسته به شرایط اصطکاک، صرف نظر می‌شود. روش پنالتی یا سایر روش‌های

$$\bar{\mathbf{k}}_c''^{(i-1)} = \nabla \bar{\mathbf{f}}_c''^{(i-1)} = \begin{bmatrix} K_n & 0 \\ 0 & 0 \end{bmatrix}, \quad (27)$$

II. شرایط چسبندگی برای قانون کولمب بهبود یافته:

$$\bar{\mathbf{f}}_c''^{(i-1)} = \begin{bmatrix} K_n(g_n''^{(i-1)} + \theta_n) \\ K_s u_t''^{(i-1)} \end{bmatrix}, \quad (28)$$

$$\bar{\mathbf{k}}_c''^{(i-1)} = \nabla \bar{\mathbf{f}}_c''^{(i-1)} = \begin{bmatrix} K_n & 0 \\ 0 & K_s \end{bmatrix}. \quad (29)$$

III. شرایط لغزشی برای کولمب کلاسیک و بهبود یافته:

$$\bar{\mathbf{f}}_c''^{(i-1)} = \begin{bmatrix} K_n(g_n''^{(i-1)} + \theta_n) \\ \mu \operatorname{sgn} u_t''^{(i-1)} K_n(g_n''^{(i-1)} + \theta_n) \end{bmatrix}, \quad (30)$$

$$\bar{\mathbf{k}}_c''^{(i-1)} = \nabla \bar{\mathbf{f}}_c''^{(i-1)} = \begin{bmatrix} K_n & 0 \\ \mu K_s \operatorname{sgn} u_t''^{(i-1)} & K_s \end{bmatrix}. \quad (31)$$

در انتهای مرحله دوم نیز جابه‌جایی گرهی ( $\bar{\mathbf{u}}''$ ) چنان تعیین شده است که سازه در تعادل بوده و شرایط اصطکاک و تماس ارضاء شوند. مجموع جابه‌جایی‌های مرحله‌های اول و دوم، منجر به یافتن جابه‌جایی دقیق و نهایی ( $\bar{\mathbf{u}} = \bar{\mathbf{u}}' + \bar{\mathbf{u}}''$ ) شده است.

به دلیل آنکه ساختار معادلات تعادلی مراحل اول و دوم (۲۱) و (۲۵) مشابه هستند، معادله کلی زیر از ترکیب معادلات تعادل مراحل اول و دوم استخراج می‌شود:

$$\begin{aligned} (\bar{\mathbf{k}}^{(i-1)} + \bar{\mathbf{k}}_c^{(i-1)}) \Delta \bar{\mathbf{u}}^{(i)} - \bar{\mathbf{f}} + \bar{\mathbf{r}}^{(i-1)}, \\ + \bar{\mathbf{f}}_c^{(i-1)} = 0, \\ \Rightarrow (\bar{\mathbf{k}}^{(i-1)} + \bar{\mathbf{k}}_c^{(i-1)}) \Delta \bar{\mathbf{u}}^{(i)} = \bar{\mathbf{f}}_{ub}^{(i-1)}, \end{aligned} \quad (32)$$

که در آن،  $(\bar{\mathbf{k}}^{(i-1)} + \bar{\mathbf{k}}_c^{(i-1)}) \Delta \bar{\mathbf{u}}^{(i)} = \bar{\mathbf{f}}_{ub}^{(i-1)}$  بردار نیروهای گرهی متناسب با تنش‌های المان و  $\bar{\mathbf{f}}_{ub}^{(i-1)}$  بردار نیروی غیرتعادلی است که نیاز به صفر گذاردن با تکرار شوندگی است. با حل این معادله برای  $(\Delta \bar{\mathbf{u}}^{(i)})$ ، جابه‌جایی‌ها در تکرار (i) به صورت  $(\bar{\mathbf{u}} = \bar{\mathbf{u}}' + \bar{\mathbf{u}}'')$  به دست آمده است.

غیرتعادلی است که به صورت تکرار شونده استخراج شده است.

با حل رابطه (۲۱) برای  $(\Delta \bar{\mathbf{u}}^{(i)})$ ، جابه‌جایی‌ها در (i) امین تکرار به صورت  $(\bar{\mathbf{u}}^{(i)} = \bar{\mathbf{u}}'^{(i-1)} + \Delta \bar{\mathbf{u}}^{(i)})$  بدست می‌آیند. در مورد شرایط عدم نفوذ و فروروی، نیروی تماسی  $(\bar{\mathbf{k}}_c'^{(i-1)} = \bar{\mathbf{f}}_c'^{(i-1)})$  می‌شود و در نتیجه، ماتریس سختی تماسی است. در مورد شرایط نفوذ و فروروی، نیروی تماسی و ماتریس سختی تماس مورد نیاز برای حل معادله تعادلی فوق به صورت زیر به دست آمده است:

$$\bar{\mathbf{f}}_c'^{(i-1)} = \begin{bmatrix} K_n(g_n'^{(i-1)} + \theta_n) \\ K_t(g_t'^{(i-1)} + \theta_t) \end{bmatrix}, \quad (23)$$

$$\bar{\mathbf{k}}_c'^{(i-1)} = \nabla \bar{\mathbf{f}}_c'^{(i-1)} = \begin{bmatrix} K_n & 0 \\ 0 & K_t \end{bmatrix}. \quad (24)$$

در انتهای مرحله اول، گره تماس در نقطه تماس اولیه (D) و جابه‌جایی ( $\bar{\mathbf{u}}$ ) قرار دارد و نیروهای عکس‌العملی ( ${}^r f_n$ ) و ( ${}^r f_t$ ) در این نقطه مشخص هستند.

مرحله دوم فرمول‌بندی: در اینجا، هدف یافتن جابه‌جایی گرهی ( $\bar{\mathbf{u}}''$ ) با توجه به اثرات تماس اصطکاکی است. به عبارت دیگر در مرحله دوم، چگونگی قرارگیری گره تماسی در شرایط تماس لغزشی و یا چسبندگی در سطح بار فعلی تعیین می‌شود. معادله نموی برای مرحله دوم فرمول‌بندی عبارت است از:

$$\begin{aligned} (\bar{\mathbf{k}}^{(i-1)} + \bar{\mathbf{k}}_c''^{(i-1)}) \Delta \bar{\mathbf{u}}''^{(i)} - \bar{\mathbf{f}}_c' + \bar{\mathbf{r}}''^{(i-1)}, \\ + \bar{\mathbf{f}}_c''^{(i-1)} = 0, \end{aligned} \quad (25)$$

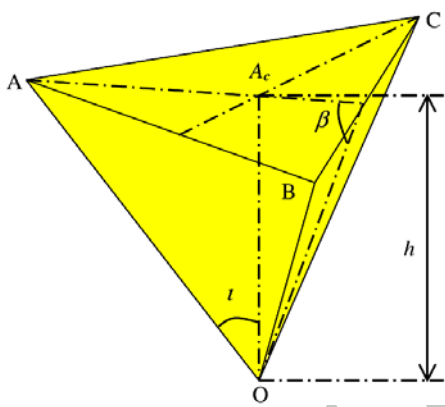
که در آن،  $(\bar{\mathbf{k}}^{(i-1)} + \bar{\mathbf{k}}_c''^{(i-1)}) \Delta \bar{\mathbf{u}}''^{(i)} = \bar{\mathbf{f}}_c''^{(i-1)}$  بردار نیروی گرهی متناسب با تنش‌های المانی است. بردار نیروی تماس مورد نیاز و ماتریس سختی تماس برای حل معادله تعادلی فوق به سه صورت زیر بیان شده است:

I. شرایط چسبندگی برای قانون کولمب کلاسیک:

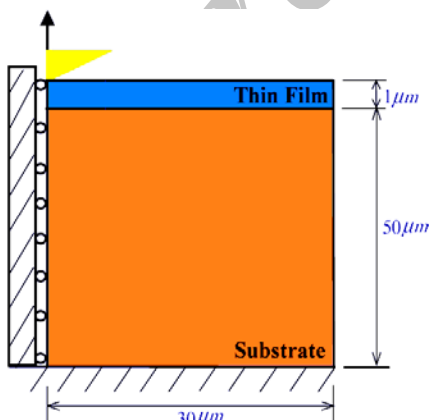
$$\bar{\mathbf{f}}_c''^{(i-1)} = \begin{bmatrix} K_n(g_n''^{(i-1)} + \theta_n) \\ {}^r f_t \end{bmatrix}, \quad (26)$$

ابعاد ۲۰ میلی‌متر طول و عرض و ۶ میلی‌متر ارتفاع انتخاب شدند. سرعت فرورود فرآیند نمونه‌ها برابر با مقدار ثابت ۵ نانومتر بر ثانیه بوده است.

با استفاده از ضرب پواسون ثابت  $0.3/0$  می‌توان معادلات مربوطه اسنده را بهطور مستقیم به منحنی‌های بار جابه‌جایی برآش داد. آنگاه مدول الاستیسیته فیلم پلیمری پلی‌ونیل استات را محاسبه نمود [۱۲]. پس از بدست آوردن مدول مورد نیاز، فرآیند فرورود یک فرورونده برکویچ در لایه پلیمری پلی‌ونیل استات به صورت شکل ۵ شبیه‌سازی و با فرمول‌بندی المان‌های محدود ارائه شده مورد ارزیابی قرار گرفته است.



شکل (۴): طرح کلی نمونه طراحی شده یک نانو فرورونده برکویچ.



شکل (۵): طراحی المان‌های محدود هندسه فرآیند فروروی نانو.

#### ۸- الگوریتم عددی

در اینجا به اختصار، مراحل الگوی فرمول‌بندی بهبودیافته لاغرانژ الحقیقی مورد استفاده ارائه می‌شود:

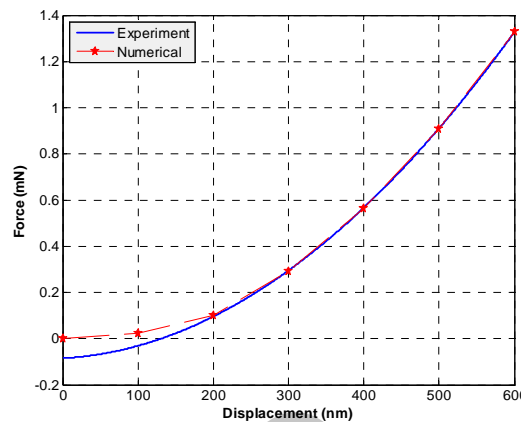
- آغاز حلقه نمو بار،
- آغاز حلقه الحقاق، که با استفاده از بهنگام‌سازی عوامل روش لاغرانژ الحقیقی انجام می‌شود،
- حل معادله نموی (۳۲)، برای جابه‌جایی به صورت تکرارشونده تا محصول همگرایی که این مرحله، معادل با مراحل کمینه‌سازی کنشمند لاغرانژ الحقیقی (۲۰) برای گره‌های عامل مرحله اول و حل معادله تعادل (۲۵) برای گره‌های مرحله دوم است،
- اگر قیود تماس برای گره‌های عامل مرحله اول با دقت مطلوبی ارضا شوند، این گره‌ها به طور دقیق در نقاط تماس ابتدایی‌شان قرار دارند. سپس شرایط اصطکاکی این گره‌ها باید بررسی شوند. اگر قیود تماس برای گره‌های عامل مرحله اول و دوم با دقت مطلوبی ارضا شوند، حلقه الحقاق باید شکسته شود و به مرحله اول بازگردد تا بار، نمو یابد. در غیر این صورت، باید فرآیند ادامه یابد،
- بهنگام‌سازی عوامل لاغرانژ الحقیقی با یک فرآیند خودکار برای گره‌هایی که توسط قیود تماس هنوز با دقت مطلوبی ارضا نشده‌اند،
- پایان حلقه الحقاق و
- پایان حلقه نمو بار.

#### ۹- نتایج تحلیل فرآیند فروروی نانو

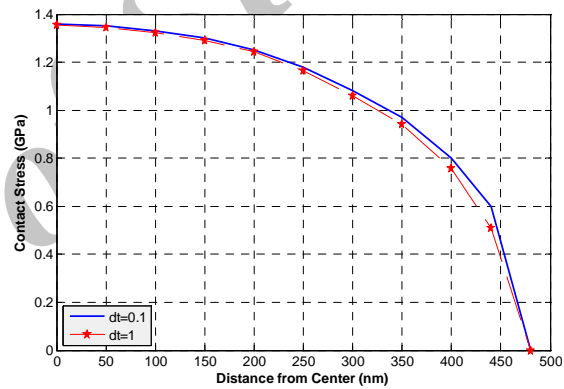
در اینجا مسئله تماسی فرآیند فروروی یک فرورونده نانو برکویچ در یک نیم‌فضای صفحه‌ای دو بعدی متشکل از یک فیلم نازک پلی‌ونیل استات به عنوان پوشش الاستیک و یک لایه زیرین صلب مورد بررسی قرار گرفته است. از فرورونده‌های برکویچ ساخته شده از الماس با نوک هرمی سه وجهی که نمای طرح‌وار آن در شکل ۴ نشان داده شده مورد استفاده قرار گرفته است. نانو فرورونده‌های برکویچ مانند انواع مخروطی با زاویه نیم مخروطی  $70/3$  درجه هستند. لایه نازک پلیمری پلی‌ونیل استات کاربردهای فراوانی به عنوان رزین پوششی دارد. نمونه‌هایی از پلی‌ونیل استات به

در ابتدای ضریب اصطکاک برابر با  $0.2^{\circ}$  انتخاب شد. پس از گسسته‌سازی المان‌های محدود و سپس حل فرمول‌بندي عددی، منحنی نیرو - جابه‌جایی غیرخطی آن بدست آمد. در شکل ۶ منحنی نیرو - جابه‌جایی متوسط تحت آزمایش‌های فروروی نانو با یک نرخ جابه‌جایی ثابت نشان داده شده و با منحنی نیرو - جابه‌جایی حاصل از حل فرمول‌بندي عددی مقایسه شده است. همان طور که در این شکل دیده می‌شود تفاوت چندانی بین این دو منحنی (به استثنای ابتدای آن) وجود ندارد که این تفاوت ابتدایی نیز به دلیل شرایط مقیاسی آزمایش و نمونه‌ها بوده و قابل صرف نظر کردن می‌باشد. در شکل ۷ نیز نحوه توزیع تنش نرمال تماسی در میانجی بین فرورونده و سطح لایه پلی‌ونیل استات به ازای دو طول گام بار متفاوت  $0.1$  و  $1$  نشان داده شده است. همان‌طور که مشاهده می‌شود بیشینه تنش تماسی حدود  $1/4$  گیگا پاسکال در مرکز ناحیه فروروی می‌باشد. تنش تماسی با یک فرآیند کاهاشی در فاصله حدود  $500$  نانومتری از مرکز ناحیه مشترک تماسی به مقدار صفر رسیده است. نتایج مناسب‌تری با افزایش گام بدست خواهد آمد. جابه‌جایی مماسی در ارتباط مستقیم با اصطکاک است که اثر اصطکاک بر آن در اینجا مورد بررسی قرار گرفته است. در شکل ۸ اثر میزان اصطکاک بر جابه‌جایی مماسی یکی از گره‌های فیلم به ازای تعداد گام‌های بار متفاوت قابل مشاهده است. در شرایط هموار بدون اصطکاک به طور تقریبی تعداد گام بی اثر بوده و میزان جابه‌جایی مماسی تماسی یکسان خواهد بود. با افزایش تعداد گام‌های بار برابری کاملی با حل تحلیلی [۸] وجود دارد. همان‌طور که مشاهده می‌شود تعداد گام در اصطکاک‌های پایین، اثر کمی بر جابه‌جایی و نیروی مماسی دارد و تعداد گام‌های بیشتر با افزایش میزان اصطکاک به حل تحلیلی دارای همگرایی بالاتری هستند.

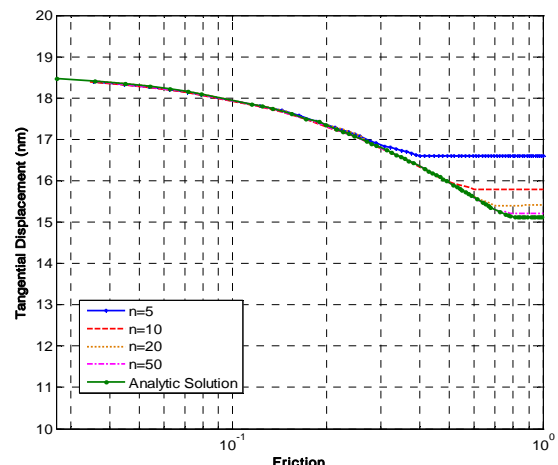
در ادامه فرآیند فروروی نانو یک فروروندی کروی با شعاع  $5$  میکرومتر در لایه پلیمری پلی‌ونیل استات شبیه‌سازی شده و با فرمول‌بندي المان‌های محدود مورد ارزیابی قرار گرفته است. در این قسمت، ضریب اصطکاک برابر با  $0.2^{\circ}$  انتخاب شده است. در شکل ۹ چگونگی توزیع



شکل (۶): مقایسه منحنی نیرو - جابه‌جایی حاصل از حل عددی با منحنی متوسط حاصل از آزمایش‌های فروروی نانو.



شکل (۷): نحوه توزیع تنش نرمال تماس بر فیلم پلی‌ونیل استات در ناحیه تماس به ازای دو گام متفاوت.



شکل (۸): اثر میزان اصطکاک بر جابه‌جایی مماسی یکی از گره‌های فیلم پلیمری به ازای تعداد گام‌های باری متفاوت.

بهبودیافته و فرمول‌بندی عددی پنالتی مقایسه شده است. همان‌طور که در این شکل نیز مشاهده می‌شود تفاوت چندانی بین منحنی تجربی و منحنی لاغرانژ الحقیقی بهبودیافته وجود ندارد ولی فرمول‌بندی عددی پنالتی، تفاوت مشهودی را با واقعیت دارد.

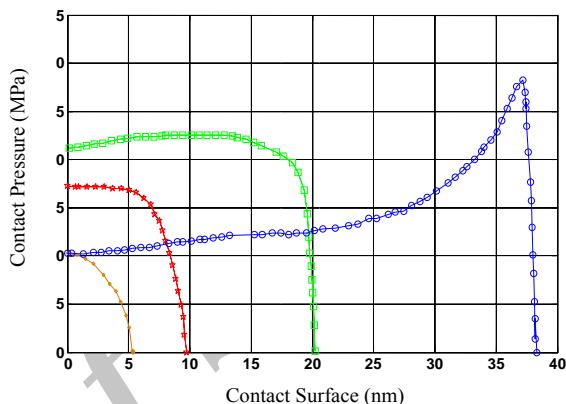
روش‌های مرسوم لاغرانژ و پنالتی قابلیت‌های ابتدایی و با قابلیت اطمینان پایینی را در ارضای قیود تماس دارا هستند. در واقع، رهیافت بهینه‌سازی لاغرانژ الحقیقی ترکیب این دو روش مرسوم به منظور رسیدن به همگرایی مناسب‌تر با واقعیت است.

#### ۱۰- نتیجه‌گیری

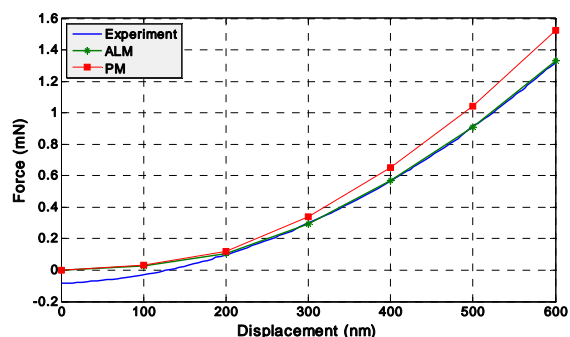
در سال‌های اخیر مسائل تماسی و ضربه در مکانیک جامدات محاسباتی به دلیل اهمیت غیرقابل توصیف در طراحی و تحلیل‌های مهندسی به عنوان یک سطح تحقیق فعال، مطرح بوده است. پدیده تماس در اثر برهمنش‌های تماسی بین اجزاء مکانیکی رخ می‌دهد که بارهای مکانیکی نیز از چنین برهمنش‌هایی ناشی می‌شوند. این امر بیانگر اهمیت مسائل تماسی در طراحی و تحلیل مهندسی هستند. با این وجود به دلیل فرمول‌بندی‌های پیچیده، پدیده‌های تماسی به ندرت در فرآیندهای طراحی مرسوم موردنظر قرار می‌گیرند و اغلب در تحلیل‌های با دقت بالا اهمیت دارند.

هدف مطالعه حاضر توسعه یک طرح محاسباتی نموی - انطباقی بر مبنای الگویی غیرخطی برای محاسبه‌ی تنش‌های شبه‌استاتیک تماسی در سامانه‌های الاستیک بوده است. بر اساس شرایط سینماتیکی و هندسی پیکره‌های در حال تماس، از یک رهیافت لاغرانژ الحقیقی بهبودیافته جدید استفاده شده است. این فرآیند حل جدید بر دشواری‌های تعیین دو عامل اصلی پنالتی و تعداد گام‌های بار نمودی که در روش‌های مرسوم توسط کاربر تعیین می‌شده‌اند غلبه نموده است. الگوریتم استفاده شده در مثال کاربردی بیان شده برای شرایط اصطکاکی چسیندگی و لغزشی به خوبی همگرا گردید و مورد تحلیل قرار گرفت. همگرایی حل در این مثال‌ها با گام گذاری بار خودکار و پیش‌گویی بار تماس به دست آمد.

فشار تماسی در میانجی بین فروروندهای کروی و رویه لایه پلی‌ونیل استات پلیمری به ازای تعداد گام‌های باری متفاوت نشان داده شده است. منحنی با مشخصه‌ی (۰-۴۰۰ گام) که دارای بیشترین تعداد گام (۴۰۰ گام) است همبستگی کاملی با حل تحلیلی دارد. دوباره با افزایش تعداد گام‌ها همگرایی بهتری بدست آمده است.



شکل (۹): چگونگی توزیع فشار تماسی در میانجی تماسی به ازای تعداد گام‌های بار متفاوت.



شکل (۱۰): مقایسه منحنی نیرو - جابه‌جایی حاصل از فرمول‌بندی عددی ارایه شده با منحنی‌های حاصل از آزمایش فروروی و فرمول‌بندی پنالتی.

در انتهای نیز اعتبار فرمول‌بندی لاغرانژ الحقیقی بهبودیافته با روش مرسوم پنالتی مورد بررسی قرار گرفته است. در شکل ۱۰ منحنی نیرو - جابه‌جایی متوسط تحت آزمایش‌های فروروی نانو نشان داده شده که با منحنی نیرو - جابه‌جایی حاصل از حل فرمول‌بندی عددی لاغرانژ الحقیقی

## مراجع

9. Baba, A.A., Radi, B., and Gelin, J.C. "An Augmented Lagrangian Treatment of the Metal Forming Process", *Math. and Comp. Modelling*, Vol. 32, No. 10, pp. 1171–1179, 2000.
10. Mijar, A.R. and Arora, J.S. "An Augmented Lagrangian Optimization Method for Contact Analysis Problems, Formulation and Algorithm", *Structural and Multidisciplinary Optimization*, Vol. 28, No's. 2–3, pp. 99–112, 2004.
11. Assie, A.E., Eltaher, M.A., and Mahmoud, F.F. "Modeling of Viscoelastic Contact-Impact Problems", *Appl. Math. Modelling*, Vol. 34, No. 9, pp. 2336–2352, 2010.
12. Ashrafi, H. and Farid, M. "A Computational Matrix Inversion Approach for Analysis of Contact Problems between any Rigid Nano-indenter and Viscoelastic Bodies", *Mech. Aerospace J.*, Vol. 5, No. 4, pp. 33–42, 2010 (In Persian).
13. Ashrafi, H., Mahzoon, M., and Shariyat, M. "A New Mathematical Modelling of Contact Treatment between an Orthotropic Material and a Rigid Indenter", *Iranian J. Mat. Sci. and Eng.*, Vol. 9, No. 1, pp. 29–41, 2012.
14. Malvern, L.E. "Introduction to the Mechanics of Continuous Medium", Prentice Hall, Englewood Cliffs, 1969.
15. Zienkiewicz, O.C. and Taylor, R.L. "The Finite Element Method for Solid and Structural Mechanics", 6th Ed., Elsevier Butterworth-Heinemann, Oxford, 2005.
16. Wriggers, P. "Computational Contact Mechanics", John Wiley and Sons, New York, 2004.
17. Jahn, J. "Introduction to the Theory of Non-linear Optimization", Springer, New York, 2007.
18. Galin, L.A. "Contact Problems", Springer, New York, 2008.

1. Laursen, T.A. "Computational Contact and Impact Mechanics", Springer, New York, 2002.
2. Oden, J.T. and Kikuchi, N. "Contact Problems in Elasticity, a Study of Variational Inequalities and Finite Element Methods", SIAM, Philadelphia, 1988.
3. Alart, P. and Curnier, A. "A Mixed Formulation for Frictional Contact Problems Prone to Newton Like Solution Methods", *Comp. Methods in Appl. Mech. and Eng.*, Vol. 92, No. 3, pp. 353–375, 1991.
4. Simo, J.C., Wriggers, P., and Taylor, R.L. "A Perturbed Lagrangian Formulation for the Finite Element Solution of Contact Problems", *Comp. Methods in Appl. Mech. and Eng.*, Vol. 50, No. 2, pp. 163–180, 1985.
5. Simo, J.C. and Laursen, T.A. "An Augmented Lagrangian Treatment of Contact Problems Involving Friction", *Comp. and Struct.*, Vol. 42, No. 1, pp. 97–116, 1992.
6. Zavarise, G., Wriggers, P., and Schrefler, B.A. "On Augmented Lagrangian Algorithms for Thermo-mechanical Contact Problems with Friction", *Int. J. Num. Methods in Eng.*, Vol. 38, No. 17, pp. 2929–2949, 1995.
7. Auricchio, F. and Sacco, E. "Augmented Lagrangian Finite Elements for Plate Contact Problems", *Int. J. Num. Methods in Eng.*, Vol. 39, No. 24, pp. 4141–4158, 1996.
8. Pietrzak, G. and Curnier, A. "Large Deformation Frictional Contact Mechanics; Continuum Formulation and Augmented Lagrangian Treatment", *Com. Methods in App. Mech. and Eng.*, Vol. 177, No. 1, pp. 351–381, 1999.